

C2+

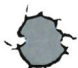
A.P. (C_2^+)

9082 ~~etc.~~ IV

1935

Tate J.T., Smith P.T., Vaughan A.L.
Phys. Rev. 1935, 48, 525-31

"A mass-spectrum-analysis of
the products of ionization by
electron impact in nitrogen,
acetylene, nitric oxide, cyanogen



C.A., 1935, 7174

10

C_2^+

ommeca 8016

1939

Mulliken R. S

Zewpf.
coematsu.

Phys. Rev., 1939, 56,
778-81

77-15

C (ΔH_s , A.P.); C^+ , C_2^+ (A.P.)

1953

Chupka W. A., Inghram M. G.

J. Chem. Phys., 1953, 21, N₂, 371-372 (austr.)Investigation of the heat of vaporization
of carbon.

5

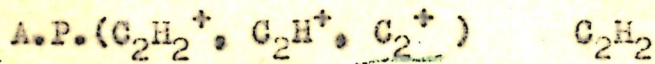
 $\bullet \checkmark \phi$

1 + 3

P. H. X. 1953, N₂, 1436.

4036 - IV

1955



Coats F.H., Anderson R.C.

J.Amer.Chem.Soc. 1955, 77, N 4,
895-896

Electron impact data on ...

H, J

IV-2094

C_2H , CH , C_2H_2^+ , C_2H^+ , $\underline{\text{C}_2^+}$, CH^+ , $\text{C}^+(\Delta \text{H f})$ 1957

C_2H_2 , C_2H , CH , C_2 (D)

Coats F.H., Anderson R.C.

J.Amer.Chem.Soc., 1957, 79, II 6, 1340-1344

Термодинамические величины, ...



1961

8Б38. Потенциальные кривые для двухзарядных положительных двухатомных ионов. Hurley A. C., Maslen V. W. Potential curves for doubly positive diatomic ions. «J. Chem. Phys.», 1961; 34, № 6, 1919—1925 (англ.).—Исходя из теоремы вириала, авторы получают точное выражение для энергии связи мол. иона через интеграл от средней кинетич. энергии по масштабному параметру. Полученная ф-ла использована для расчета энергии двукратно заряженных положительных ионов. При расчете предполагается, что волновая функция иона отличается от функции соответствующей изоэлектронной пейтр. молекулы только масштабным преобразованием. При этом потенциальная кривая для иона выражается через такую же кривую для молекулы. Для ряда ионов (C_2^{2+} , O_2^{2+} , CO^{2+} и др.) рассчитана энергия ионизации и, где возможно, произведено сравнение с опытом. На двухэлектронной модели проверялась допустимость сделанных предположений.

Ю. Демков

x. 1962. 8

C_2^+

C_2^-

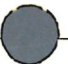
Herzberg G.

1987

Proc. Int. Conf. Spectrosc.
1st, Mumbai 1967, 1, 158!

Molecular absorption spectra
in flash discharges.

H_3^+



See. Weniger et al.
(monely) -

C_2^+ Herzberg G.,
Lagerqvist A. 1968
 C_2 231
Can. J. Phys., 615
46, 2363-73
наст. номер. Вопр - 3370а - XIV
Новый спектр, связанный
с звукомолекулярными переходами

(ал. C_2) III

C +
C₂

(all w.
macrene)

1968
23037b Theoretical calculation of the electronic states of C_2^+ . Verhaegen, Georges (Univ. Libre Bruxelles, Brussels, Belg.). *J. Chem. Phys.* 1968, 49(10), 4696-705 (Eng). Results of ab initio calcns. are presented for a series of valence levels of C_2^+ and for the two lowest states of C_2 ($x^1\Sigma_g^+$ and $X'^3\Pi_u$). Correlation energies of all the levels are estd. by a new scheme taking into account near-degeneracy effects in the mol. and in the constituent ion pairs. Results for C_2 are in close agreement with expt. for equil. internuclear distances, vibration frequencies, term energies, and dissocn. energies. For C_2^+ the calcns. show the ground state to be ${}^4\Sigma_g^-$ with relatively low-lying (~ 0.6 ev.) ${}^2\Delta_g$ and ${}^2\Pi_u$ levels. The electron-impact measurement for the appearance potential of C_2^+ is interpreted as $\text{C}_2({}^3\Pi_u, v = 1) \rightarrow \text{C}_2^+({}^4\Sigma_g^-, v = 0)$. The quartet transition ${}^4\Sigma_g^- \rightarrow {}^4\Sigma_u^-$ is predicted to lie at 6000 Å. The major doublet transitions all lie in the ir.

RCJO

C.A. 1969. 70.6

C_2^+

968

5 Д90. Теоретический расчет электронных состояний C_2^+ . Устгаеген Г. Theoretical calculation of the electronic states of C_2^+ . «J. Chem. Phys.», 1968, 49, № 10, 4696—4705 (англ.)

Рб.-иск.
расчет

Представлены результаты неэмпирич. расчета ряда валентных уровней C_2^+ и двух низших состояний $C_2(x^1\Sigma_g^+ \text{ и } X'^3\Pi_u)$. Оценены корреляционные энергии всех уровней. Равновесные межъядерные расстояния, колебательные частоты, энергии термов и энергии диссоциации C_2 хорошо согласуются с эксперим. данными. Результаты расчета C_2^+ свидетельствуют о том, что основным является ${}^4\Sigma_g^-$ -состояние с относительно низколежащими (около 0,6 эв) ${}^2\Delta_g^-$ и ${}^2\Pi_u$ -уровнями. Измеренный потенциал появления C_2^+ при электронном ударе отнесен к C_2 (${}^3\Pi_u, v=1 \rightarrow C_2^+({}^4\Sigma_g^-, v=0)$). Предсказано, что квартетный переход ${}^4\Sigma_g^- \rightarrow {}^4\Sigma_u^-$ расположен при 6000 Å. Все главные дублетные переходы расположены в ИК-области.

Резюме

φ · 1969 · 5 · 2

1441

G⁺Zathrae W. a.
at allrecl.crp - parJ. Amer. Chem. Soc.
J 1941, 93, N.Y., 808-815(Ces. Hg) \bar{u}

C_2^+

Hinkley R.K.;
et al.

1972

"Mol. Phys.",

pačem. 1972, 24, N5, 1095-102.

"Консеп. смес-орбита. вданс..



(ав. Bell; III)

C_2^+

отмечено 3279

1972

Д353. Новая полоса, отнесенная к молекулярному иону C_2^+ . Meinel H. A new spectrum probably due to the C_2^+ ion. «Can. J. Phys.», 1972, 50, № 2, 158—164 (англ.; рез. франц.)

Исследован спектр поглощения, полученный при пропускании излучением капиллярного разряда продуктов разложения C_2H_2 в импульсном разряде. В области 2490 Å обнаружена новая полоса, предположительно отнесенная к молекульному иону C_2^+ . Масс-спектрометрический анализ и вращательная структура спектра изотопов $^{12}C_2^+$ и $^{13}C_2^+$ подтвердили принадлежность полосы переходу $^2\Sigma - ^2\Pi_u$ C_2^+ . Определены молекулярные константы и обсуждается электронная структура состояний. Библ. 12.

В. Александров

9.1972.9D

C +
d

ommunic 3279

1972.

105833w New spectrum probably due to the C_2^+ ion. Meinel,
H. (Div. Phys., Natl. Res. Counc. Canada, Ottawa, Ont.).
Can. J. Phys. 1972, 50(2), 158-64 (Eng). A new spectrum
assoc'd. with diat. C was obsd. in absorption in a flash discharge
at 2490 Å. This spectrum was identified as a ${}^3\Sigma_g^- - {}^3\Pi_u$ transi-
tion indicating that the absorber must be a C₂ ion, either C₂⁺ or
C₂⁻. From a discussion of the exptl. conditions, the mol. consts.
and the electronic structure, it appears very likely that the
carrier is C₂⁺.

M. N.

C.A.

1972 · Pb. D

C +
C₂

отмечи 3279

1872

17 Б176. Новый спектр, отнесенный к иону C_2^+ .
Meinel H. A new spectrum probably due to the C_2^+ ion.
«Can. J. Phys.», 1972, 50, № 2, 158—164 (англ., рез.
франц.)

В импульсном разряде в смеси He— C_2H_2 обнаружена полоса поглощения в области 12490 Å, связанная с двухатомным углеродом. Полоса отнесена к переходу $^2\Sigma_g^-$ — $^2\Pi_u$ ионов C_2^+ или C_2^- . Анализ вращательной структуры дал $B'' = 1,659 \text{ см}^{-1}$, $B' = 1,648 \text{ см}^{-1}$. Продукты разряда изучались также масс-спектрометрически. В результате обсуждения условий эксперимента, молек. постоянных и данных об электронном строении сделан вывод, что за спектр ответственен ион C_2^+ .

Резюме

X. 1872. 17

C_2^+

1974

A.P.

Maeda K., Suzuki T.H.,
Koyama Y.,
Int. J. Mass. Spectrom. and
Ion Phys., 1974, 14, N3,
273-83.

(cu $C_2H_2^+$, \bar{m})

Ø. 1975. N2.

51007.1841

TC, Ch, Ph

C_2^{2-}

96201

1975

3377

Ahlrichs Reinhart, Hartree-Fock theory for
negative ions.

"Chem. Phys. Lett.", 1975, 34, N 3, 570-
574

(англ.)

0463 ник

443 445

ВИЧИТИ

50703.7561

Ch, Ph, MGU, TC

41125

 C_2^+

1975

4123

Čársky P., Kuhn J., Zahradník R. Semiempirical all-valence-electron MO calculations on the electronic spectra of linear radicals with degenerate ground states. "J. Mol. Spectrosc.", 1975, 55, N 1-3, 120-130
 (англ.)
 (calc. CH, CH_2 , C_2^+)

377 378 0393 0401 пик ВИНИТИ

Ca^+

Chaikovskii E.F.,
et al 1975

макроэкр.
исслед.

Teplofix. Vys. Temp.,
1975, 13(6), 1800-1.



All C^+ ; $\frac{\text{II}}{\text{I}}$,

50318.7219
Ch, Ph, TC, MGU

424-40892

1975

#4-8338

K p. N 50318.7218

Day Orville W., Smith Darwin W.,
Morrison Robert C.

Extension of Koopmans' theorem. II.
Accurate ionization energies from
correlated wavefunctions for closed-shell
atoms.

"J.Chem.Phys.", 1975, 62, N 1, 115-119

(англ.) 0323 пчк

292 297 8 9 5

ВИНИТИ

C_2^+

omnibus 5771

1977

$(\nu H^+, \gamma)$

Hunteros W.P., Jr.

Astrophys. J. Suppl. Ser.,
1977, 32, (4), 495-514.

Peer. H^+, γ)

Li^+

LOM. 27412

1977

Tarafdar S.P.,

J. Quant. Spectrosc. Ra-
diat. Transfer. 1977,
17 (4), 537-42.

G_2^{2+}

1979

Петркович Н.Н., Ребале Т.К.

расчет
помехи,
крикса

Отмска и синхроакции,
1979, 46, № 454-459.

● (сиг. He_2^{2+} ; III)

C_2^+
 C_2
M.h.

Brema P.J., Peyerimhoff
¹⁹⁸⁰

S.D., Bunker R.J. -

J. Chem. Phys., 1980, 72,
p. 5432

4)

C_2^+

(Omnuck 13408)

1981

Kb. Mex.
pacet

Gollisch H.,

Z. Phys. B; Atom and
Mol. Phys., 1981, 14, N^o 23,
4457 - 4467.

Омск 11790 1981

C_2^+

Еи, И.Н., №

17

(+1)

Х, 1982, 1986, N1

1 Б27. Теоретическое предсказание потенциальных кривых низколежащих состояний молекулярного иона C_2^+ . Petrongolo Carlo, Вгиа Pablo J., Рейстимhoff Sigrid D., Buenker Robert J. Theoretical prediction of the potential curves for the lowestlying states of the C_2^+ molecular ion. «J. Chem. Phys.», 1981, 74, № 8, 4594—4602 (англ.)

Рассчитаны энергии электронных состояний молек. иона C_2^+ , коррелирующих с первым диссоциац. пределом $C(^3P) + C(^2P)$. Использовано приближение конфигурац. взаимодействия (КВ) с построением одно- и двукратно возбужденных конфигураций по отношению к выделенному набору исходных конфигурац. ф-ций состояния, число к-рых составляло от 7 до 16 в зависимости от симметрии электронного состояния. Применилась процедура отбора конфигураций по энергии с последующей экстраполяцией. Вводились поправки на высшие возбуждения по методу Давидсона. Базисный набор составлен из функций $9s5p2d$, сгруппированных в $5s3p1d$, на каждом центре, дополненных связевыми ф-циями $1s1p$ (всего 44 АО). Для 16 низших

САК на обороте

дублетных и квартетных состояний рассчитаны потенциальные кривые (для межъядерных расстояний от 2 до 4 ат. ед.), для остальных состояний определены только вертикальные энергии возбуждения. Подтверждено, что основным является состояние симметрии $^4\Sigma_g^-$ с энергией диссоциации 5,78 эВ, а первое возбужденное состояние симметрии $^2\Pi_u$ расположено выше на 0,84 эВ (T_c). На основании теор. расчетов C_2^+ и C_2 сделано заключение, что эксперим. значение потенциала ионизации C_2 (12 эВ) следует отнести к переходу $^3\Pi_u - ^2\Pi_u$, тогда как переход между основными состояниями трудно замерить экспериментально. Теор. результаты противоречат отнесению системы полос Мейнеля при 4,98 эВ к переходу $^2\Sigma_g^- - ^2\Pi_u$.

А. В. Немухин

$C_d(g)$

взор
ону

C_2^+

Отмск 11790

1981

12 Д60. Теоретическое предсказание для потенциальных кривых низколежащих состояний молекулярного иона C_2^+ . Theoretical prediction of the potential curves for the low-lying states of the C_2^+ molecular ion.
 Petrongolo Carlo, Bruna Pablo J., Reuterimhoff Sigrid D., Buenker Robert J.
 «J. Chem. Phys.», 1981, 74, № 8, 4594—4602 (англ.)

Методом конфигурационного взаимодействия с учетом конфигураций, соответствующих двукратному возбуждению, исследованы все электронные состояния иона C_2^+ , диссоциирующие на $C(^3P_g) + C(^2P_u)$. Для 16 состояний рассчитаны потенц. кривые в интервале межатомного расстояния от 2,0 до 4,0 а. е. Для остальных 8 состояний получены значения вертикальной энергии возбуждения T . В соответствии с более ранними расчетами C_2^+ основное состояние оказалось симметрии ${}^4\Sigma_g^-$, а первое возбужденное — ${}^2\Pi_u$ с соответствую-

(47)
 (41)

Ф. 1981, 18, N 12.

C_2 (и.н., 9)

ющим значением T , равным 0,84 эВ. Расчеты показали, что измеренный потенциал ионизации молекулы C_2 , равный примерно 12 эВ, должен соответствовать переходу $a^3\Pi_u(C_2) \rightarrow a^2\Pi_u(C_2^+)$, сопровождающему отрывом σ_g электрона и соответствующему принципу Франка—Кондона. Ионизация Π_u электрона в процессе $a^3\Pi_u \rightarrow X^4\Sigma_g^-$ требует 11,5 эВ. Отмечается, что полученная ранее на основании измеренных значений потенциала ионизации C_2 величина энергии диссоциации C_2^+ соответствует не основному $X^4\Sigma_g^-$, а первому возбужденному $a^2\Pi_u$ -состоянию. Найдено, что даже при средних расстояниях, вследствие почти вырожденности Π_u , Π_g - и $3\sigma_g$ -орбиталей, потенц. кривые лежат очень плотно и ниже 2 эВ, что приводит к сильному взаимодействию состояний и к сложной форме кривых из-за многочисленных квазипересечений. Отмечается также, что эксперим. отнесение Майнеля системы полос вблизи 4,98 эВ переходу $^2\Sigma_g^- \leftarrow ^2\Pi_u$ в C_2^+ не подтверждается полученными данными.

А. Зембков

1981

 C_2^+

Ommeck 11790

Kf. Mex.
faccet

M. M.

Cucumella
Meinel $2\Sigma_g^- \leftarrow 2\Pi_u$
 $\mu \text{ } 4.98 \pm 8$

94: 197957n Theoretical prediction of the potential curves for the lowest-lying states of the diatomic carbon($1-\cdot$) molecular ion. Petrongolo, Carlo; Bruna, Pablo J.; Peyerimhoff, Sigrid D.; Buenker, Robert J. (Univ. Bonn, 5300 Bonn, 1 Fed. Rep. Ger.). *J. Chem. Phys.* 1981, 74(8), 4594-602 (Eng). Ab initio MRD-CI (multiref. double excitation) potential curves were calcd. for C_2^+ in its first 16 electronic states and vertical transition energies T_v were computed for a no. of higher-lying species, all of which correlate with the first dissocn. limit $C(^3P_2) + Cj(^2P_u)$. The ground state of this mol. ion is $X ^4\Sigma_g^-$ while the first excited state is $1 ^2\Pi_u$, with a calcd. T_0 value of 0.84 eV. On the basis of this work, the C_2 ionization potential value known exptl. is ascribed to the $a ^3\Pi_u \rightarrow 1 ^2\Pi_u$ process while the transition involving both ground states appears to be difficult to detect exptl. A comparison with previous calcns. shows very large discrepancies, both in the transition energies themselves and in the ordering of these states. The assignment for the H. Meinel (1972) exptl. band system at 4.98 eV as a $2\Sigma_g^- \rightarrow 2\Pi_u$ transition in C_2^+ is not supported by the present study.

C.A. 1981, 94, N24

C_2^+ C. Petrongolo, P.J. Bruna, S.D. Peizerimhoff 1981
R.J. Buenker
Jaguar

J. Chem. Phys., 1981, 74, 4594

Теоретический расчет потенциальных кривых
изоцеленнических состояний C_2^+ .

Hückel методика \rightarrow

и энергии

изображено по орнаменту от принятых

	Tc	we	
$X^1\Sigma_g^-$	0	1360	13.60
$2\Pi_u$	6800	1630	16.30
$4\Pi_g$	11000	1840	18.40
$2\Delta_g$	11800	1230	12.30
$2\Sigma_g^+$	14000	1265	12.65
$2\Sigma_g^+$	15000	1090	10.90
$2\Pi_u$	16500	1360	13.60
$4\Sigma_g^-$	20200	1470	14.70
$2\Pi_g$	24800	1660	16.60
$2\Sigma_g^+$	30800	2330	23.30

C_2^+

Omnueck 13368

1982

Hayashi T., Iwata S.,
et al.

enrich,
ref. see.
paeru. *J. Phys. B: Atom. and
mol. Phys.*, 1982, 15, 11,



79 - 92:

C_2^+

1982

Kückel W., Gey E.,
et al.

Z. Phys. Chem. (DDR),
1982, 263, N3, 641-645.



(car. C_2 ; II)

C_2^+ 1983
Bruna Pablo J., Mirsch Berhard,
et al.
Mol. Ions: Geom. and Electron.
Struct. Proc. NATO Adv. Study
Inst., Isle of Kos, Sept. 30-Oct.
10, 1980. New York; London,
1983, 309-354.

(C_{2v} . SH_2^+ ; III)

C₂⁺

10m. 17658/

1983

Brema P. J., Peyerimhoff S. D.,
meop.

parerem Bull. Soc. Chim. Belg., 1983,
92, N 6-7, 525-546.

C_2^+

Om. 16886

1983

Farnell L., Pople J. A.,
et al.
ab initio

pacriès J. Phys. Chem., 1983,
87, N1, 79-82.

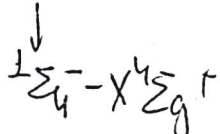
C_2^+
 C_2D^+

O'Keefe A., Terai R.,
Bowers M. P.

1984

(Chenop) Chem. Phys., 1984, II (1), 161-6

The first experimental observation
of electronic transitions in carbon
(C_2^+) and ethynium (C_2D^+) ions.

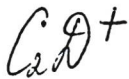
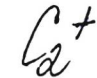


CA 237.780W, 10/1, 1984

High resolved. translational
energy spectroscopy (lipid film)
was carried out on 8-keV beams

of C_2^+ and C_2D^+

1984



21, оч. сост.

18
11

ЗЛ215. Первое экспериментальное наблюдение электронных переходов в C_2^+ и C_2D^+ . The first experimental observation of electronic transitions in C_2^+ and C_2D^+ . O'Keeffe Anthony, Deger Renée, Powers Michael T. «Chem. Phys.», 1984, 91, № 1, 161—166 (англ.)

Методом спектроскопии кинетич. энергии ионов в пучке (8 кэВ), рассеянном на атомах Не, с высоким разрешением (0,1 эВ) исследованы электронные переходы в ионах C_2^+ и C_2D^+ . Для обоих ионов обнаружены и идентифицированы электронные переходы различной мультиплетности. Для иона C_2^+ идентифицирована, в частности, полоса ${}^4\Sigma_u^- - X {}^4\Sigma_g^-$, которая может быть использована для регистрации C_2^+ в межзвездной среде. Положение и ширина двух электронных переходов, обнаруженных у иона C_2D^+ , хорошо согласуются с предсказаниями теоретич. расчетов. Последнее может рассматриваться как подтверждение теоретич. вывода о том, что основным состоянием иона C_2D^+ является состояние ${}^3\Pi$.

Б. С. Иванов

9. 1985, 18, N3

C_2^+

[01. 20 239] /984

5 Б1179. Первое экспериментальное наблюдение электронных переходов в C_2^+ и C_2D^+ . The first experimental observation of electronic transitions in C_2^+ and C_2D^+ . O'Keefe Anthony, Dergai Renée, Powers Michael T. «Chem. Phys.», 1984, 91, № 1, 161—166 (англ.)

Методом спектроскопии поступательной энергии высокого разрешения исследованы электронные переходы в ионах C_2^+ и C_2D^+ . Приблизительноmonoэнергетический (8 кэВ) пучок разделенных по массе ионов пропускался через камеру заполненную нейтр. газом. При столкновениях, в результате переходов в ионах или молекулах (атомах) мишени происходили изменения в энергии ионного пучка, к-рые регистрировались с помощью электростатич. анализатора. Ионы C_2^+ получались при действии электронного удара на : I— C_2N_2 ; II— C_2H_4 , C_3H_6 и C_2D_2 ; ионы C_2D^+ —при действии электронного удара на C_2D_2 . Положение и отнесение (на основании результатов неэмпирических расчетов)

м.н., Li

(H)

X. 1985, 19, n5

пиков: спектре C_2^+ (I): 0,5—2,0 эВ — $1^2\Pi_u \rightarrow 2^2\Delta g$, $2\Sigma_g^-$, $2\Sigma_g^+$; $2^2\Pi_u$, 2,3 эВ — $1^2\Pi_u \rightarrow 1^2\Pi_g$; 3,0—4,0 эВ — $1^2\Pi_u \rightarrow 1^2\Sigma^+$, $1^2\Delta_u$; 5,0 эВ — $1^2\Pi_u \rightarrow 1^2\Sigma_u^-$; 5,8 эВ — $1^2\Pi_u$ (?) — $\rightarrow 2^2\Pi_g$. В спектре C_2^+ (II) др. пики интерпретированы как квартетные переходы: 0,5—2,0 эВ — $1^4\Pi_g \rightarrow 1^4\Sigma_u^-$, $X^4\Sigma_g^- \rightarrow 1^4\Pi_g$, 2,50 эВ — $X^4\Sigma_g^- \rightarrow 1^4\Sigma_u^-$, 5,0 эВ — $1^4\Pi_g \rightarrow 1^4\Pi_u$. В спектре C_2D^+ наблюдались два широких пика при ~ 1 эВ (предварительное отнесение $^3\Pi \rightarrow ^3\Sigma^-$) и $\sim 3,4$ эВ (предварительное отнесение $^1\Delta \rightarrow ^1\Sigma^+$).

Б. М. Ковба

О4
абл5

С (ионн)

1986

теор. расчет

8 Д25. Численные расчеты энергетических и радиационных характеристик ионов углерода методом функционала плотности. Бодашко П. Г., Боровский А. В., Запрягаев С. А., Коробкин В. В., Могилев А. В., Файнштейн А. Г. «Ин-т общ. физ. АН СССР. Препр.», 1986, № 47, 36 с.

оф. 1986, 18, N 12

C_2^+

1986

106: 92652x Multireference CI calculations of radiative transition probabilities between low lying quartet states of the diatomic carbon monopositive ion. Rosmus, P.; Werner, H. J.; Reinsch, E. A.; Larsson, M. (Fachbereich Chem., Univ. Frankfurt, D-6000 Frankfurt/Main, Fed. Rep. Ger.). *J. Electron Spectrosc. Relat. Phenom.* 1986, 41(3-4), 289-96 (Eng). Potential energy functions for the 10 lowest electronic states of the C_2^+ ion were calcd. from correlated CASSCF and MC-CI electronic wave functions and used for derivation of the spectroscopic consts. The predicted values are expected to be accurate within 0.01 Å for R_e , 20-30 cm⁻¹ for ω_e , and 0.05-0.1 eV for T_e . For the 3 lowest quartet states, the electronic transition moment functions were also calcd. For the transitions among these states, radiative lifetimes and absorption oscillator strengths are given which should be accurate within about 15%.

romers krib.
hezefux 10
comodrum

c.A.1987, 106, n12

$C_2^{K^+}$

Wells B.H., Wilson S. 1986

Пачем
Мерзко-
вичев.
Фрекмюн.
Соенасф.

J. Phys. B: Atom.
and Mol. Phys., 1986,
19, N.1, 17-32.

($C_2^{K^+}, \underline{III}$)

C_2^+

07.08.893

1987

6 Л237. Электронные спектры поглощения C_2^+ :
 $B^4\Sigma_u^- \leftarrow X^4\Sigma_g^-$. An electronic absorption spectrum of
 C_2^+ : $B^4\Sigma_u^- \rightarrow X^4\Sigma_g^-$. Forguey Daniel, Althaus Hart-
wig, Maier John P. «J. Phys. Chem.», 1987, 91, № 26,
6458—6461 (англ.)

При т-ре 5 К исследованы спектры поглощения и люминесценции в области 435—560 нм молекулярных центров C_2^+ (I), изолированных в матрицах твердого Ne. Центры I создавались с помощью фотолиза и последующей фотоионизации излучением из области вакуумного УФ молекул C_2H_2 , C_2D_2 , C_2N_2 , C_2HF_3 , C_2HCl , C_2OCl , C_2Cl_2 , C_2HBr . Спектры содержат серии электронно-колебательных линий, сопровождаемых фоновыми крыльями и отнесенных к переходу $B^4\Sigma_u^- \rightarrow X^4\Sigma_g^-$ в центрах I. Исследовано влияние изотопич. замещения по углероду на положение чисто электронных линий и колебательные частоты. На основании полученных данных определены параметры колебательного потенциала центров I. Библ. 20. К. Э. М.

М.Л.

Ф 1988, 18, N6

C₂⁺

01128693

1987

12 Б1182. Электронный спектр поглощения C₂⁺. B⁴Σ_u⁻ ← X⁴Σ_g⁻. An electronic absorption spectrum of C₂⁺. B⁴Σ_g⁻. Forney Daniel, Althaus Hartwig, Maier John P. «J. phys. chem.», 1987, 91, № 26, 6458—6461 (англ.)

Измерены спектры поглощения и лазерной флуоресценции продуктов вакуумного УФ фотолиза и фотоионизации ацетилена, дейтероацетилена и хлорацетилена в Ne матрице (T=5 K). В видимом диапазоне идентифицированы полосы 0—0, 1←0, 2←0 и 1→1 перехода B⁴Σ_u⁻—X⁴Σ_g⁻ молек. ионов ¹²C₂⁺ (соотв., 505,8; 470,3; 439,8; 502,4 нм) и ¹²C¹³C⁺ (полосы 0—0 и 1—0, соотв., 505,8 и 471,6 нм). В качестве источников при фотолизе использовались: а — лаймановское излучение водорода, 121,6 нм, излучение XeI, 147,0 нм. или и то и другое одновременно. Последующая фотоионизация образующихся фотофрагментов осуществля-

III.

X. 1988, 19, N 12

лась излучением NeI, 73,6 нм. Рассчитаны молек. пос-
тоянные C_2^+ : $v_{00}=19\,765$, $\omega_e'=1507$, $\omega_e'x_e'=8$,
 $\Delta G''_{1/2}=1359$ см $^{-1}$. В том же диапазоне наблюдались
также полосы 0—0, 1—0 и 2—0 системы $B^2\Sigma_u^+$ —
 $X^2\Sigma_g^+ C_2^-$. Наиболее интенсивные спектры получены в
случае хлорацетилена.

В. М. Ковба

C_2^+ [PM 28693] // 108759

1987

108: 132759 An electronic absorption spectrum of carbon ion (C_2^+): $B^4\Sigma_u^- \leftarrow X^4\Sigma_g^-$. Forney, Daniel; Althaus, Hartwig; Maier, John P. (Inst. Phys. Chem., Univ. Basel, CH-4056 Basel, Switz.). *J. Phys. Chem.* 1987, 91(26), 6458-61 (Eng). The $B^4\Sigma_u^- \leftarrow X^4\Sigma_g^-$ electronic transition of C_2^+ in a 5 K Ne matrix was identified. The 0-0, 1-0, and 2-0 bands are obsd. in absorption when $^{12}C_2^+$ and $^{13}C_2^+$ are produced in the matrix by photolysis followed by photoionization of various precursors, the most favorable one being chloroacetylene. The carrier and symmetry of the transition are assigned on the basis of spectroscopic and chem. evidence and by comparison to recent calcns. The 1-1 band was also obsd. in the wavelength-dispersed fluorescence spectrum of C_2^+ , subsequent to laser excitation of the 1-0 absorption transition. The derived spectroscopic consts. (in Ne matrix) are $\nu_{00} = 19,765$ (4) cm^{-1} , $\omega_e' = 1507$ (4) cm^{-1} , $\omega_{eXe}' = 8$ (4) cm^{-1} , and ν'' (1-0) = 1359 (6) cm^{-1} .

$(B^4\Sigma_u^- - X^4\Sigma_g^-)$

M.N.

C.A. 1988, 108, N2

C_2^+

(OM-28864)

1987

Hirsch F., Buerker R. J.,

J. N.
mag.
param.

J. Chem. Phys., 1987,
87, N10, 6004-6011.

$C_2 +$

1987

Kraemer Wolfgang P;

Roos Björn O.

U. N.

Chem. Phys., 1987,
118, N 3, 345-355.

(see C_2 ; III)

C_2^+

Om. 25777

1987

O'Keefe A., McElvany S.,
et al.,

Chem. Phys., 1987, III, N2,
327 - 338.

Ion-molecule chemistry
of C_2^+ : Evidence for the

production of excited state
dicarbon cation.

C_d²⁺

[OM. 26574]

1987

Генкин М.М., Редане Г.Р.,

Радио-
спектр-
спектро-
спектро-
спектро-

Оптика и спектроско-
пия, 1987, 62, №3,
514-518.

C₂⁺ (with C₃⁻) (OM. 28270) 1987

108: 46181m Matrix studies of the products of laser vaporization of graphite. Rasanen, M.; Liu, J. Y.; Dzugan, T. P.; Bondybey, V. E. (Dep. Chem., Ohio State Univ., Columbus, OH 43210 USA). *Chem. Phys. Lett.* 1987, 142(5), 308-12 (Eng). C₂⁺ and other ions were produced by laser vaporization of graphite and studied in a matrix. A new spectrum characterized by $T_c = 19732 \text{ cm}^{-1}$, $\omega'_e = 1507 \pm 2 \text{ cm}^{-1}$, and $\omega''_e = 1360 \pm 5 \text{ cm}^{-1}$ was detected and assigned to C₂⁺ or, less probably, to C₃⁻. An efficient vibrational energy transfer between C₂ and C₂⁺ was obsd.

Free MPDH-
Chekmp 8
11Ampulse.

C.A. 1988, 108, N6

C_2^+

07.08.741

1987

7 Л488. Спектр возбуждаемой лазером флуоресценции $\tilde{B}^4\Sigma_u^- - \tilde{X}^4\Sigma_g^-$ иона C_2^+ . $B^4\Sigma_u^- - X^4\Sigma_g^-$ laser excitation spectrum of C_2^+ . Rösslein M., Wyttenbach M., Maier J. P. «J. Chem. Phys.», 1987, 87, № 11, 6770—6772 (англ.)

С помощью перестраиваемого лазера получены с разрешенной вращательной структурой спектры возбуждения флуоресценции $\tilde{B}^4\Sigma_u^- - \tilde{X}^4\Sigma_g^-$ ионов $^{12}C_2^+$ и $^{13}C_2^+$ из разряда. Проведено отнесение вращательной структуры различных электронно-колебательных полос и вычислены молекулярные постоянные состояний $^{12}C_2^+$, $\tilde{B}^4\Sigma_u^-$ и $\tilde{X}^4\Sigma_g^-$. Обнаружены возмущения ряда вращательных уровней состояния $\tilde{B}^4\Sigma_u^-$. Согласно проведенным оценкам время жизни состояния $\tilde{B}^4\Sigma_u^-$ составляет 100—200 нс.

Е. Н. Т.

Ф. 1988, 18, № 7

C^+
 C_2

0728741

1987

13 Б1303. Спектр лазерного возбуждения $B^4\Sigma_u^- - X^4\Sigma_g^- C_2^+$. $\tilde{B}^4\Sigma_u^- - \tilde{X}^4\Sigma_g^-$ laser excitation spectrum of C_2^+ . Rösslein M., Wytenbach M., Maier J. P. «J. Chem. Phys.», 1987, 87, № 11, 6770—6772 (англ.)

Методом спектроскопии лазерного возбуждения исследован переход $B^4\Sigma_u^- - X^4\Sigma_g^-$ ($v', v'' < 3$, обл. 500 нм) молекул $^{12}C_2^+$ и $^{13}C_2^+$. Измерена и проанализирована вращат. структура полос 1—0, 0—0 и 0—1. Ионы C_2^+ получались при пеннинговской ионизации молекул ацетилена или дейтероакетилена метастабильными атомами Не. Во всех полосах отмечены возмущения вращат. уровней верхнего состояния. Получены след. значения молек. постоянных $^{12}C_2^+$ (в см $^{-1}$): состояние $X^4\Sigma_g^-$: $\omega_e = 1351,5$, $\omega_e x_e = 12,1$, $B_0 = 1,417$, $B_1 = 1,401$ ($R_0 = 1,408$ Å); состояние $B^4\Sigma_u^-$: $T_e = 19652,9$, $\omega_e = 1507,0$, $\omega_e x_e = 12,3$, $B_0 = 1,537$, $B_1 = 1,519$ ($R_0 = 1,352$ Å).

В. М. Ковба

Х. 1988, 19, № 13

C_2^+

0m. 28741

1987

108: 65040f $B^4\Sigma_u^- - X^4\Sigma_g^-$ laser excitation spectrum of carbon diatomic monopositive ion. Roesslein, Matthias; Wyttensbach, Martin; Maier, John P. (Inst. Phys. Chem., Univ. Basel, CH-4132 Basel, Switz.). *J. Chem. Phys.* 1987, 87(11), 6770-2 (Eng.). The $B^4\Sigma_u^- - X^4\Sigma_g^-$ transition of C_2^+ was obsd. in the gas phase using laser excitation spectroscopy; its rotational structure was resolved and mol. consts. were calcd. The anal. of the vibronic bands, using also ^{13}C isotopes, proved the identity of the species and the symmetry of the transition. The results open the way for identifying C_2^+ in various media.

$(B^4\Sigma_u^- - X^4\Sigma_g^-)$

c.A.1988, 108, N8

C_2^+

(011 32 752)

1988

111: 204463y Electronic spectroscopy of cations at reduced temperatures. Danis, Paul O.; Evard, Dwight D.; Forney, Daniel Roesslein, Matthias; Wyttenbach, Thomas; Maier, John P. (Inst. Phys. Chem., Univ. Basel, CH-4056 Basel, Switz.). *Faraday Discuss. Chem. Soc.* 1988, 36(Spectrosc. Low Temp.), 85-94 (Eng). The application of the techniques of matrix-absorption, laser-excitation and laser-absorption spectroscopies of mass-selected ion beams to the study of small open-shell cations at reduced temps. is described. The spectroscopic characterization of the $B\ ^4\Sigma_u^- \rightarrow X\ ^4\Sigma_g^-$ transition of C_2^+ was carried out 1st in a Ne matrix, then at high-resoln. using laser-excitation spectroscopy. Two-photon ion-absorption expts. which are being developed to characterize cations spectroscopically, were demonstrated on N_2O^+ . The instrument used is a triple-quadrupole mass spectrometer designed to select primary ions, constrain them for photon absorption and to detect fragment ions.

$\beta\ ^4\Sigma_u^- - \chi\ ^4\Sigma_g^-$

C.A. 1989, 111, N 22

C_2^+

1988

7 Б1308. Генерация и изоляция ион-радикалов в неоновых матрицах при 4 К. Исследования методом ЭПР F_2CO^+ и C_2^+ . Radical-ion generation and trapping in neon matrices at 4 K. Electron spin resonance investigations of F_2CO^+ and C_2^+ / Knight L. B., Ott J. // Faraday Discuss. Chem. Soc.— 1988.— № 86.— С. 71—83.— Англ.

Изучены спектры ЭПР ионов C_2^+ и F_2CO^- , изолированных в матрицах из Ne при 4 К. Ионы C_2^+ генерировали посредством фотоэлектронной ионизации молекул C_2 , образующихся в газовой фазе при лазерном испарении графитовых мишеней. Ионы F_2CO^- получали двумя способами: 1) фотонионизацией газ. F_2CO с последующей изоляцией с матрицей или 2) со-конденсацией молекул F_2CO и атомов Na с избытком N_2 или Ar. Выполнен анализ спектров ЭПР и подтвержден вывод, полученный на основании данных электронной спектроскопии, что основным состоянием

III

(+)

X. 1990, N 7

F_2CO^+

ионов C_2^+ является состояние ${}^4\Sigma_g^-$. Приняты след. значения параметров ${}^{13}C_2^+$: $D = 3668(3)$ МГц, $g_{\perp} = 2,0018(5)$, $g_{\parallel} = 2,0023(5)$, $A_{\parallel} = 99,4(8)$, $A_{\perp} = 95,2$ МГц. Показано, что в анионе F_2CO^- атом С является центральным ($A_{изо} = 715$ МГц), а симметрия аниона отличается от C_{2v} , что приводит к усложнению спектра из-за неэквивалентности ядер ${}^{19}F$. Определенные значения элементов тензоров A для ${}^{19}F$ и ${}^{13}C$ согласуются с рассчитанными теоретически. Выполнен предварительный анализ спектра ЭПР иона F_2CO^+ . С. Б. Осин

ния
ща:

C_2^+

Он 30/79

1988

24 Б1448. Изучение методом ЭПР $^{12}C_2^+$ и $^{13}C_2^+$ в неоновой матрице, подтверждение $^4\Sigma_g^-$ основного электронного состояния. Neon matrix ESR investigation of $^{12}C_2^+$ and $^{13}C_2^+$: confirmation of a $^4\Sigma_g^-$ ground electronic state. Knight L. B., Jr., Cobranchi S. T., Earl E. «J. Chem. Phys.», 1988, 88, № 12, 7348—7356 (англ.)

М.Н.

Катион-радикалы C_2^+ и $^{13}C_2^+$ получены путем фотоионизации газ. C_2 , образующегося при лазерном испарении графитовой мишени и послед. осаждения в неоновой матрице при 4 К. Высокот-ная печь позволяет проводить отжиг графитовой мишени при 2100 К в высоком вакууме и послед. лазерное испарение без доступа атмосферного воздуха, что сильно снижает кол-во фоновых радикалов, образующихся из адсорбированных графитом примесей. На основе независимого анализа спектров ЭПР C_2^+ и $^{13}C_2^+$ ($S=3/2$), определения тензора СТВ с ^{13}C , влияния фотоотжига видимым светом и особенностей эксперим. получения

ex. 1988, № 24

радикалов установлено, что сигналы ЭПР принадлежат изолированным катион-радикалам C_2^+ и $^{13}C_2^+$ в основном электронном состоянии ${}^4\Sigma_g^-$. Определены магнито-резонансные параметры $^{13}C_2^+$ в неоновой матрице: $D=3668$, $|A_{||}|=99,4$, $|A_{\perp}|=95,2$ МГц, $g_{||}=2,0023$, $g_{\perp}=2,0018$. В спектрах ЭПР $^{13}C_2^+$ обнаружены интенсивные линии дополнит. поглощения с необычной СТС и запрещенные переходы (с $\Delta M_s > 1$) в низких магн. полях.

Е. Н. Дегтярев

Б
апр
осн

C_2^+

Дн. 29627

1988

Л 10 Л203. Электронный спектр C_2^+ ($B^4\Sigma_u^- - X^4\Sigma_g^-$).
 The $B^4\Sigma_u^- - X^4\Sigma_g^-$ electronic spectrum of C_2^+ . Maier
 John P., Rösslein Matthias. «J. Chem. Phys.», 1988,
 88, № 8, 4614—4620 (англ.)

Методом индуцированной лазером флуоресценции ис-
 следована система полос $B^4\Sigma_u^- - X^4\Sigma_g^-$ иона C_2^+ . Вы-
 полнен вращательный анализ 10 колебательных полос
 иона $^{12}C_2^+(v', v'' < 13)$ и семи полос иона
 $^{13}C_2^+(v', v'' < 2)$. Определены спектроскопич. постоян-
 ные T_e , B_e , ω_e , $\omega_e \phi_e$, α_e для состояний X и B обеих
 изотопич. молекул. Для ряда уровней $C_2^+(B^4\Sigma_u^-)$ из-
 мерены времена жизни. Определена сила осциллятора
 для перехода $B - X$, $f_{0-0} = 0,023$ (3). Библ. 32.

В. С. Иванов

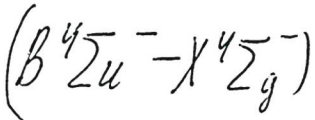
м.п.

д. 1988, 18, N 10

1988

Om. 29627

109: 159328d The $B^4\Sigma_u^- - X^4\Sigma_g^-$ electronic spectrum of carbon diatomic monopositive ion. Maier, John P.; Roesslein, Matthias (Inst. Phys. Chem., Univ. Basel, CH-4056 Basel, Switz.). J. Chem. Phys. 1988, 88(8), 4614-20 (Eng). The $B^4\Sigma_u^- - X^4\Sigma_g^-$ electronic transition of C_2^+ was studied in the gas phase by laser excitation spectroscopy. The rotational anal. of 10 vibronic bands of $^{12}C_2^+$ ($v', v'' \leq 3$) and 7 of $^{13}C_2^+$ ($v', v'' \leq 2$) was carried out. The spectroscopic consts. T_e , B_e , α_e , ω_e , ω_{ex_e} were obtained for $^{12}C_2^+$ and $^{13}C_2^+$ in the $X^4\Sigma_g^-$ and $B^4\Sigma_u^-$ states. The lifetimes of C_2^+ in selected levels of the $B^4\Sigma_u^-$ state were measured, and the oscillator strength $f_{0-0} = 0.0713$ was derived.



C.A. 1988, 109, N 18

OM 29627

1988

19 Б1195. Электронный спектр $B^4\Sigma_u^- - X^4\Sigma_g^- C_2^+$.
The $B^4\Sigma_u^- - X^4\Sigma_g^+$ electronic spectrum of C_2^+ .
Mayer J. P., Rösslein M. «J. Chem. Phys.», 1988, 88, № 8,
4614—4620 (англ.)

С использованием возбуждения при помощи лазерного излучения в обл. частот 17 100—22 800 см⁻¹ с разрешением 0,04—0,1 см⁻¹ измерены спектры возбуждения электронно-колебательных полос (ЭКП) $^{12}C_2^+$ ($v', v'' \leq 3$) и 7 ЭКП $^{13}C_2^+$ ($v', v'' \leq 2$) электронного перехода $B^4\Sigma_u^- - X^4\Sigma_g^-$. Из анализа полученных спектров с учетом колебательно-вращат. взаимодействия и ангармонизма определен полный набор молекулярных постоянных для двух ионов в состояниях $X^4\Sigma_g^-$ и $B^4\Sigma_u^-$. По спаду сигнала флуоресценции для выбранных вращат. уровней определены времена жизни для состояния $B^4\Sigma_u^-$ ($v' \leq 2$) C_2^+ и силы осцилляторов для перехода $B^4\Sigma_u^- - X^4\Sigma_g^-$ ($v' \leq 2, v'' \leq 3$) C_2^+ . Полученные результаты представляют интерес для оптич. исследований хвостов комет, межзвездной среды, плазмы и пламен.

С. Н. Мурзин

Х. 1988, 19, N 19.

C_2^+

Om 32939

1989

III: 243132j High-resolution spectrum of the $B^4\Sigma_u^+ - X^4\Sigma_g^+$ electronic system of diatomic carbon molecular ion(1^+) using fast-ion beam-laser spectroscopy. Carle, M.; Alikacem, A.; Larzilliere, M. (Lab. Spectrom. Ionique Mol., Univ. Claude Bernard Lyon I, 69622 Villeurbanne, Fr.). *Phys. Rev. A: Gen. Phys.* 1989, 40(6), 3450-2 (Eng). A highly resolved spectrum is given of the transitions of C_2^+ . To avoid the difficulty of the observation of the $B^4\Sigma_u^+ - X^4\Sigma_g^+$ emission spectrum of C_2^+ by conventional methods, a technique was used based on fast-ion-beam laser spectroscopy which presents a very-high-resoln. performance (≤ 120 MHz). Spin-spin and spin-rotation coupling parameters were detd. for the 1st time for both involved states.

M.N.

C.A. 1989, III, N 26

C₂⁺

1989

X⁴S_g⁻

(v = 4-7)

M.N.

C.A. 1989, III, N 26

III: 243) 9ic A spectroscopic study of the $\tilde{X}^4\Sigma_g^-$ ($v = 4-7$) levels of diatomic carbon cation (C_2^+) using the stimulated emission pumping technique. Celii, F. G.; Maier, J. P. (Inst. Phys. Chem., Univ. Basel, Basel, Switz.). *AIP Conf. Proc.* 1988 (Pub. 1989). 191(Adv. Laser Sci.-4), 472-4 (Eng). Stimulated emission pumping spectroscopy was used to characterize vibrationally excited levels ($v = 4-6$) of the $\tilde{X}^4\Sigma_g^-$ ground electronic state of C_2^+ . Transitions were detected by decreased total fluorescence from laser-excited $B^4\Sigma_u^+$ levels. To obtain the 2-photon spectra, a modulation scheme which discriminated against 1-photon fluorescence signals was used.

C_2^+

(Om 32216)

1989

110: 124267b Absorption spectroscopy of mass-selected ions in neon matrixes. Forney, Daniel; Jakobi, Michael; Maier, John P. (Inst. Phys. Chem., Univ. Basel, CH-4056 Basel, Switz.). *J. Chem. Phys.* 1989, 90(1), 600-1 (Eng). A technique is described for obtaining spectral information on mass-selected ions embedded in a Ne matrix by direct absorption spectroscopy. The gas phase method of ion prodn. and mass selection with matrix isolation technique are combined. Thus, Ne matrixes contg. the ion of choice can be prep'd. and then subjected to already available spectroscopic methods. In this case it is the measurement of the electronic absorption spectrum of the ion. The 220-1200 nm wavelength region can be scanned to locate the transition and this in turn provides the necessary information for the application of high resoln. laser techniques in the gas phase. The potential of the technique is illustrated by results given for C_2^+ , $C_2N_2^+$ and $Cl_2Cl_2^+$ ions.

(f2)



c.A.1989, 110, N 14

C_2^+

(OM 34168)

1989

Weltner W., Jr., Van Zee R. J.,
M.N., Chem. Rev. 1989, 89, n8,
neopm. 1713-1747.

у кремум
гантим Carbon Molecules,
Ions, ● and Clusters.

C_2^+

Om. 35084

1990

Lilie F.F., Maier J.P.,

λ_{429} -
coem. g. Opt. Soc. Amer. B 1990,
 λ_{429} -
 λ_{429} , N9, 1944-1949

Stimulated - emission

pumping spectroscopy of mole-
cular ions.

C_2^+

(Am 33772)

1990

112: 225973a A spectroscopic study of the $\bar{X}^4\Sigma_g^-$ ($v = 4-6$) levels of the carbon diatomic monopositive ion using the stimulated emission pumping technique. Celii, F. G.; Maier, J. P. (Inst. Phys. Chem., Univ. Basel, CH-4056 Basel, Switz.). *Chem. Phys. Lett.* 1990, 166(5-6), 517-22 (Eng). Stimulated emission pumping (SEP) spectroscopy was used to characterize vibrationally excited levels ($v = 4-6$) of the $\bar{X}^4\Sigma_g^-$ ground electronic state of C_2^+ . Rotationally resolved $B^4\Sigma_u^- \rightarrow \bar{X}^4\Sigma_g^-$ transitions were detected by observation of a decrease in the total laser-excited fluorescence (LEF) signal from the $B^4\Sigma_u^-$ ($v' = 2$) level. In order to obtain the SEP spectra, a modulation scheme which discriminated against one-photon fluorescence signals was successfully employed. The SEP line positions were used together with those from a previous LEF study to improve the mol. consts. of the $\bar{X}^4\Sigma_g^-$ state of C_2^+ .

$B^4\Sigma_u^- \rightarrow \bar{X}^4\Sigma_g^-$

M.1.6 $\bar{X}^4\Sigma_g^-$

C.A. 1990, 112, N 24

C_2^+

parcielle
u.n.,
 T_i .

1990

Klobukowski M.,
Dingle T.W. et al.
Theor. Chim. Acta 1990,
77(3), 191-205.

(C_{eq} , C_2 ; II)

C_2^+

1990

115: 122519q Spectroscopic characterization of cations via their electronic transitions. Maier, John P. (Inst. Phys. Chem., Univ. Basel, CH-4056 Basel, Switz.). *Int. Rev. Phys. Chem.* 1990, 9(3), 281-306 (Eng). A review with 87 refs. is given on recent studies and developments undertaken aimed at spectral characterization of open-shell cations. The analyses of the rotational structure in the laser excitation spectra of the halocyanide and diacetylene cations have enabled their complete r_s geometries to be inferred. These should serve as a benchmark for calcns. in open-shell cations contg. either a heavy atom or many atoms. A new direction pursued aims at spectral characterization of fragment ions. The first success is the identification of the $B^4\Sigma^+ - X^4\Sigma^-$ transition of C_2^+ , which was obsd. initially in absorption in a 5 K Ne matrix and then in the gas phase by laser excitation. The stimulated emission pumping approach was also used to probe higher vibrational levels of the $X^4\Sigma^-$ state. In the studies of new ions by laser methods, 2 obstacles are encountered. One concerns the uncertainty in the energy region of the transitions sought and the other is the identification of the carrier. Methods are discussed to provide such information.

C.A. 1991, 115, N12

$\beta +$
 C_2

1990

Weltner W., Jr., Van Zee R.J.

enckmopol
6 alacet -
recsay,
edgrop

J. Mol. Struct. 1990,
222 (1-2), 201 - 7.

(cel. $\bullet C_2$; iii)

C_2^+

(Dn. 35549, 35550)

1991

C_2^{dt}

Bruna P.Y., Wright J.S.,

J. Mol. Struct. - Theocém.

1991, 280, 213-218.

Doubly excited states of C_2 ,
 C_2^+ and C_2^{dt} .

C₂²⁺

PM-35549, 355501

1991

Bruna P.Y., Wright Y.S.,

J. Mol. Struct. Theochem -
1991, 230, 213-218.

Doubly excited C₂, C₂⁺ and C₂²⁺. states

C_2^+

[DM. 36455]

1991

Sowa M.B., Mintz P., et al,
J. Chem. Phys. 1991, 95, N 6,
4719 - 4720.

Dissociation energies for carbon
cluster ions

(C_{2-15}^+) : ff



A system where photodissocia-
tion is misleading.

C_2^+

1992

Brenza P.J., Wright
J.S.

J. Phys. Chem. 1992.

ill. n.

96, N.Y.C. 1630-1640.

(see $\bullet C_2^-$; \underline{II})

1992

C_2^+
 C_2
 C_2

NicDear A.D.; Liu, B.; et al.,

Y.-me
nomes. J. Chem. Phys. 1992, 97(11),
8459 - 64.

Hennel,

Re, We,

g, De, pacem

(all. B_2^+ ; III)

C_2^+

1992

17 Б1015. Расчеты молекулы C_2 и молекулярных ионов C_2^+ и C_2^- методом связанных кластеров. Coupled-cluster calculations on the C_2 molecule and the C_2^+ and C_2^- molecular ions /Watts John D., Bartlett Rodney J. //J. Chem. Phys.—1992.—96, № 8.—С. 6073—6084.—Англ.

Различными вариантами метода связанных кластеров с учетом вплоть до трехкратных возбуждений рассчитаны энергии низших электронных состояний молекулы C_2 и ионов C_2^+ и C_2^- . Рассмотрены две группы базисов на основе двухэкспонентного набора с поляризац. АО и базисы Даннинга для корреляц. подходов с включением

III.11.

(4) 18



X. 1993, N 17

ф-ций вплоть до g-типа. Определены энергии и молек. постоянные r_e , ω_e , D_e , T_e для связанных состояний. Отмечено, что отклонения от эксперим. величин находятся в пределах 0,002 Å для r_e , 20 см⁻¹ для ω_e и 0,1 эВ для D_e . Для энергий возбуждения результаты не столь хороши, как для других св-в. При расчетах сродства к электрону молекулы C₂ отмечено существенное влияние корреляц. вкладов, в частности, роль трехкратных возбуждений. Различие между рассчитанным и эксперим. значением сродства в наилучшем варианте составляет 0,3 эВ. Для потенциалов ионизации C₂ результаты лучше, расходжения с эксперим. величинами около 0,2 эВ. А. В. Н.

C_2^+

1993

122: 145824u Study of laser-induced fluorescence spectra of C_2^+ and N_2^+ by the FIBLAS method. Boudjarane, Khaled (Univ. Laval (Canada), Can.). 1993. 243 pp. (Eng). Avail. NLC Order No. DANN85619. From *Diss. Abstr. Int. B*, 1994, 55(3), 968.

Лазерная
спектроскопия.

(+) ~~XX~~



N_2^+

C. A. 1995, 122, N 12

C_2^+

1993

Liu Lei.

w.n.

Wuli xuebao. Acta
phys. sin. 1993. 42, N4.
C. 563-567.



(ces. C_2 ; III)

C₂⁺

1993

119: 169520f A high-resolution study of the (0, 1) $B^4\Sigma_u^- - X^4\Sigma_g^-$ transition of dicarbon monocation. Zackrisson, M.; Roven, P. (Dep. Phys., Stockholm Univ., S-113 46 Stockholm, Swed.). *J. Mol. Spectrosc.* 1993, 161(1), 1-6 (Eng). The velocity modulation laser absorption technique was employed to obtain the spectrum of the (0, 1) band of the $B^4\Sigma_u^- - X^4\Sigma_g^-$ system of C_2^+ . These states were rotationally analyzed and a study of the $B^4\Sigma_u^- \sim 2^3\Pi_u$ interaction was performed. The wavenumbers of the rather broad rotational lines and of overlapping lines were detd. using a computer program for line profile fitting and decompn. Deperturbed consts. and interaction parameters were derived.

($B^4\Sigma_u^- - X^4\Sigma_g^-$)

trans. energy
(0,1) nonoch

C-A. 1993, 119, N 16

C_2^+

1995

123: 300362h Sub-Doppler laser spectroscopy of small molecular ions. Boudjarane, K.; Larzilliere, M. (Laboratoire de Physique Atomique et Moléculaire, Université Laval, Sainte-Foy, PQ Can. G1K 7P4). *Proc. Int. Conf. Lasers* : 1994. (Pub. 1995). 17th, 520-7 (Eng). Fast ion-beam laser spectroscopy (FIBLAS) is a powerful high-resoln. spectral technique for studying the structure of at. and mol. ions. A large no. of different at. and mol. species can be systematically probed using FIBLAS methods in several ways. The FIBLAS methods are more efficient and powerful to study ions than conventional spectroscopy techniques using conventional discharges. Laser-induced fluorescence (LIF) when combined with FIBLAS technique is 1 method than can be used for detecting resonances. The kinematic compression of axial velocities occurring in fast beam was exploited to reduce the Doppler broadening and to produce extremely narrow absorption lines. This technique was applied to C_2^+ and N_2^+ .

laser

Grempel



(+) N_2^+



C. A. 1995, 123, N 22

C_2^+

1995

123: 211901r High-resolution laser-induced fluorescence spectrum of the B $^4\Sigma_u^-$ -X $^4\Sigma_g^+$ transition of C_2^+ . Boudjarane, K.; Carre, M.; Larzilliere, M. (Laboratoire de Physique Atomique et Moléculaire, Université Laval, Sainte-Foy, Québec, Can.). *Chem. Phys. Lett.* 1995, 243(5,6), 571-8 (Eng). We have used

laser-induced fluorescence on a fast ion beam to study the B $^4\Sigma_u^-$ -X $^4\Sigma_g^+$ system of the homonuclear mol. ion C_2^+ . We have obse. rotational lines of the (1, 1) band by using a Doppler tuning technique and the high resoln. obtained has permitted a detailed study of spin splitting. Mol. consts. and interaction parameters were evaluated including revised results for the (1, 0) band.

$(B\ ^4\Sigma_u^- - X\ ^4\Sigma_g^+)$

C. A. 1995, 123, N 16

C_2^{2+}

1995

Hogreve H.

pacrin
terpenes
st. coccin.

J. Chem. Phys. 1995,
102(8), 3281-91.

● (an. C_3^{2+} , "II")

$\begin{pmatrix} \text{d} & + \\ \text{d} & \end{pmatrix}$

1996

Hogreve
H. COOM
MEOP. facili

124: 130199m Theoretical study of the low-lying electronic spectrum of C_2^{2+} . Hogreve, H. (1098 SJ Amsterdam, Neth.). *Chem. Phys.* 1996, 202(1), 63-80 (Eng). Electronic states assocd. with the low-lying Born-Oppenheimer spectrum and crucial for the stability and exptl. observability of C_2^{2+} are studied by ab initio methods. This includes computation of potential energy curves and transition moments by multireference CI methods, and a study of the corresponding vibrational resonance levels and lifetimes. By analogy with the electronic ground state $\text{X } ^3\Sigma_g^-$ of the isoelectronic neutral mol. B_2 , the lowest potential energy curve of C_2^{2+} that supports quasibound vibronic motion belongs to the state $1\ ^3\Sigma_g^-$. In case of C_2^{2+} , this state is destabilized by a crossing with the repulsive potential energy curve of $1\ ^3\Pi_u$, and the induced electronic transitions represent the major decay channel of C_2^{2+} . ($1\ ^3\Sigma_g^-$). The quintet state $1\ ^5\Sigma_u^-$ is quasibound; whereas most of its vibronic levels are practically stable against dissociative tunneling, interactions with other electronic states furnish the principal decay mechanism for $1\ ^5\Sigma_u^-$. Addnl. bonding and stability properties of C_2^{2+} are exposed by monitoring the behavior of potential energy curves while rising the nuclear charge from the neutral to the doubly pos. charged situation.

C.A. 1996, 124, 11/10

G +
G

1996

Li, Liangzhi;
Palolli, Joseph

meopm

Aachen

mekmroh.
cccmoelti.

J. Chem. Phys., 1996,
104(23), 9555-62

1998

F: C₂(+2)

P: 3

18Б184. Теоретическое изучение [неэмпирическими методами] низколежащих электронных состояний C{2+}[2]. Theoretical study of the low-lying electronic spectrum of C{2+}[2] / Hogreve H. // Chem. Phys. - 202, 1. - С. 63-80. - Англ.

G_d^{d+}

Wang, Hongyan; et al.;
1998

rabbits
cnp-pa,
meopen
pacem

Yuanzi Yu Feizi Wu-
li Xuebao 1998,
15(4), 468-472

(all. G_d ; III)

C_d^+

1998

Wang, Kongyan; et al;

radiophar.
CNP-PA,
meopen.
pacet

Yuanzi Yu Fenzi Wuli
Xuebao 1998, 15(4),
468 - 472

(all. C_d ; III)

F: C2

P: 3

131:357473 Rotational temperature measurements
of excited and ground stat C2(d 3.PI.g-a 3.PI.u)
transition in a H2/CH4 915 MHz microwave pulsed pla

Duten, Xavier; Rousseau, Antoine; Gicquel,
Alix; Leprince, Philippe Laboratoire
d'Ingenierie des Materiaux et des Hautes Pressions,
Universi Paris Villetaneuse F93430, Fr. J.

Appl. Phys., 86(9), 5299-5301 (English) 1999 The
rotational temp. of a low energy (0.09 eV), C2 Swan band
state (a 3.PI.u), obtained by white light absorption, is
compared to the rotationa temps. of three electronic
excited states [C2(d 3.PI.g),CH(A2.DELTA.) and
2.SIGMA.+)] in a high power, H2/CH4 microwave plasma
used for diamond deposition. All temps. are measured at
50 mbar, and both continuous (as function of microwave
power) and pulsed (as a function of time after the modes
of operation were studied. The rotational temp. of C2's

1999

excited st higher than that of the low energy state (assumed equal to the gas temp.) indicating that the excitation of C2 is to a large extent the result of c reactions (chemiluminescence) rather than electronic excitation. The rot temps. of CH(A 2.DELTA.) and CN(B 2.SIGMA.+) excited states are also high that for C2's low energy state temp. rotational temp ground state carbon dimer; hydrogen methane microwave plasma carbon dimer; excitation dimer chemiluminescence electronic state Luminescence, chemiluminescence, mecha rotational temp. measurements of excited and ground states of C2(d 3.PI.g 3.PI.u) transition in a H2/CH4 915 MHz microwave pulsed plasma; Plasma, microwave; rotational temp. measurements of excited and ground states of 3.PI.g-a 3.PI.u) transition in a H2/CH4 915 MHz microwave pulsed plasma;

G^+

[Om. 40182]

1999

Toshi-Ichi Suzuki,

Internat. J. Quantchem.
Chem., 1999, 72, N6, 597-604

Structure of Molecular
Energy Levels • of Homonuclear

Diatom. Molecules.



C_2^+

1999

Suzuki, Yoshi-Ichi;

МАСТЕР
МЕТОДОВ
СОМ.,

метод
раман

Int. J. Quantum. Chem.
1999, 72(6), 597-604

(алл. C_2 ;
 III)

2000

F: C2

P: 3

133:325879 Analytical representations of high level
ab initio potential energy curves of the C2 molecule.

Boggio-Pasqua, M.; Voronin, A. I.; Halvick, P.;
Rayez, J.-C. UMR 5803/CNRS, Laboratoire de Physico-
Chimie Moleculaire, Universite Bordeaux 1 Talence
33405, Fr. THEOCHEM, 531, 159-167 (English) 2000.

Realistic anal. representations of the twelve
lowest singlet and triplet electronic adiabatic
potential energy curves of C2 mol. are given. The

corresponding electronic states are correlated with C atoms both in their 3P state. A new set of high level MRCI calcns. coupled with a double many-body expansion anal. fitting based on the extended Hartree-Fock approx. correlation energy model were used in this work. Using RKR data available in the literature, comparison is made between our results and RKR turning points concerning the four lowest singlet states X1.SIGMA.+g, A1.PI.u, B1.DELTA.g and B'1.SIGMA.+g of C2. The agreement is very satisfying.

Cd⁺

[Om. 40709]

2001

Connor P Ballance and
Brendan M. McLaugh-
lin,

J. Phys. B: At. Mol.
Opt. Phys. 2001, 34, N° 7
1201-1212

Valence configuration interaction study of the C_2^+ cation



C_2^+

(OM-41328)

2001

Wang L. et al.,

J. Mol. Struct. (Theochem),
2001, 571, 135-138.

Studies on the analytical notes -
trial energy for C_2^+ and C_2^- .

C₂ A. Tanabashi^a and T. Amano^b) 2002

New Identification of the Visible Bands of the C₂ Swan System

Journal of Molecular Spectroscopy

Volume 215, Issue 2, October 2002, Pages 285-294

The well known Swan system ($d^3\Pi_g - a^3\Pi_u$) of C₂ has been observed in absorption in a hollow cathode discharge in a mixture of C₂H₂ and helium. Three bands, (v', v'')=(5, 7), (6, 8), and (7, 9), of the Swan system have been identified and rotationally analyzed. However, the transition wavenumbers are found not to be quite consistent with the literature values compiled by Phillips and Davis. The (7, 9) band has been observed and identified for the first time. New identifications of the (5, 7) and (6, 8) bands are presented. The observed wavenumbers are fit to the effective Hamiltonian derived by Brown and Merer for $^3\Pi$ states. The molecular constants for both the upper and lower electronic states have been determined from the least squares fitting.